

PAPER DETAILS

TITLE: Turunçgil Exocortis Viroidinin RT-PCR ve Dot Blot Hibridizasyon Yöntemiyle Tanisi

AUTHORS: M GÖÇMEN,T TASDEMİR,M KELTEN,S GÜNES,I POLAT

PAGES: 221-228

ORIGINAL PDF URL: <https://dergipark.org.tr/tr/download/article-file/18272>

TURUNÇGİL EXOCORTİS VİROİDİNİN RT-PCR ve DOT BLOT HİBRİDİZASYON YÖNTEMİYLE TANISI

Münevver GÖÇMEN Tülay TAŞDEMİR Mukaddes KELTEN

Sema GÜNEŞ İlknur POLAT

Narenciye ve Seracılık Araştırma Enstitüsü, Antalya-Türkiye

Özet

Turunçgil Exocortis viroidi (CEV), düşük moleküler ağırlıklı, 371 nükleotid uzunluğunda RNA yapısında olup, dünyada turunçgil yetiştiriciliği yapılan tüm alanlarda mevcuttur. *Poncirus trifoliata* (L.) Raf anacı (üç yapraklı) başta olmak üzere Carrizo citrange ve Rangpur lime üzerine aşılı portakal, mandarin, tangelo ve altintopta ekonomik zararı fazladır. Turunçgil Exocortis hastalığının tanısında en yaygın kullanılan yöntem, biyolojik testlemedir. Ancak bu testleme yönteminde, kontrollü sera gerekliliği ve testleme süresinin uzun olması yeni modern tekniklerin kullanılmasını zorunlu kılmaktadır. Yapılan bu çalışmada, moleküler tekniklerden olan ve RNA düzeyinde tanılama yapmaya imkan sağlayan RT-PCR (Reverse Transkriptase-Polymeraze Chain Reaction), ve enzim (Biotin-ULS) işaretlemesiyle Dot-Blot Hibridizasyon teknikleri Türkiye Turunçgil Çeşit Geliştirme Programında (TTÇGP) CEV'in tanılamasında kullanılmıştır. Böylece, biyolojik testleme süresi uzun olan CEV'nin, kısa sürede, güvenilir ve hızlı şekilde tanılanmanın yapılabileceği görülmüştür.

Anahtar Kelimeler: Turunçgil, Exocortis Viroid, RT-PCR (Reverse Transkriptase-Polymeraze Chain Reaction), Dot-Blot Hibridizasyon

Identification of Citrus Exocortis Viroid by RT-PCR and Dot-Blot Hybridization

Abstract

Citrus Exocortis Viroid (CEV) which has low weight and RNA structure 371 nucleotid lenght is very common in all citrus orchards. Its economic loss is much more on orange, mandarine, tangelo and grapefruid grafted especially on *Poncirus trifoliata* (L.), Carrizo citrange ve Rangpur lime rootstocks. Biological testing is the most common method for identification of CEV. This method takes long time and needs controlled greenhouse conditions, therefore the advanced molecular tests can be utilized to determine CEV. In this study, RT-PCR (Reverse Transkriptase-Polymeraze Chain Reaction), a molecular technique identifying at RNA level and dot-blot hybridization via enzym (Biotin-ULS) marking technique was used for identification of CEV in Citrus Variety Improvement Programme in Turkey. In this way, presence of CEV in citrus has been identified more reliable and faster than biological testing method.

Keywords: Citrus, Exocortis Viroid, RT-PCR (Reverse Transkriptase-Polymeraze Chain Reaction), Dot-Blotting hybridization.

1. Giriş

Turunçgil Exocortis hastalığının Türkiye de varoluğu ilk olarak Norman(1963) ve Moreira(1965). tarafından bildirilmiştir. Ülkemizde yaygın olarak üretimi yapılan portakal ve mandarin başta olmak üzere tangelo ve altintop bu hastalığa oldukça duyarlı turunçgil türleridir. Çınar ve ark. (1993), Çukurova bölgesinde yaptıkları survey çalışmasında, Navel portakal ve mandarin ağaçlarının genelde CEV'i ile bulaşık olduğunu belirtmişlerdir. Özaslan ve Çınar (1990), CEV iki boyutlu gel elektroforez tekniği ile mandarin ve mandarin hibritlerinde ülkemizde ilk kez moleküler düzeyde saptamışlardır. Bir çok

turunçgil türü ise bu hastalığa tolerant olup hiçbir simptom göstermemektedir. Hastalığın simptomları daha çok *Poncirus trifoliata* (L.)Raf anacı (üç yapraklı) üzerine aşılı turunçgil türlerinde yaprak buruşukluğu (yaprak orta damarından büzülme), bitkide bodurlaşma ve anaç kısmında kabuk pullanması şeklinde görülmektedir (Şekil 1). Hastalığın ekonomik zararı, daha çok verim azalması ve ağaç ömrünün kısalması nedeniyle olmaktadır.

Turunçgil Exocortis Viroidi (CEV), dünyada turunçgil üretimi yapılan tüm alanlara dağılmıştır (Wallace,1978). Etmenin bazı tolerant turunçgil çeşitlerinde

simptom oluşturmadan bulunması, aşigözü budama makası (mekanik) ve kök füzyonu ile bulaşması hastalığın yayılmasında etkili olmuştur (Garnsey ve Jones, 1967; Wutscher ve Shull, 1975).

Patojen, tek iplikçikli, circular veya linear formda, yaklaşık 105.000 dalton ağırlığında, RNA zincir uzunluğu 371 nükleotid olup Rutaceae, Solanaceae ve Compositaceae familyasında hastalık oluşturmaktadır (Rivera-Bustamente ve Semancik, 1986; Roistacher ve ark., 1978; Semancik ve Weathers, 1972; Semancik, 1987).

Hastalık tanısı genellikle biyolojik testleme ile yapılmaktadır. Testlemede, indikatör bitki olarak, hastalığa en duyarlı Etrog citron'un 861-S-1 klonu kullanılmaktadır. Biyolojik testleme, bu indikatör bitki üzerine bulaştırma aşısı yapılması ve bitkilerin sıcak bir ortamda bekletilmesi sonucu oluşan simptomların gözlemlenmesi şeklinde yapılmaktadır. Ancak bu testleme yönteminin, bazı olumsuz yanları mevcuttur. Bitkiler simptom oluşturmadığı takdirde, testleme süresi 18 aya kadar uzamakta ve CEV simptomunun gelişmesi için çevre koşullarının optimum olması (sıcaklığın en az 30°C) gerekmektedir. Bu nedenle kiş aylarında yapılan testlemeler de maliyeti artırmaktadır. Ayrıca indikatör bitki tohumlarının elde edildiği ana bitkilerin zaman içerisinde bulaşma olasılığı her zaman vardır. (Boccardo ve ark., 1984).

CEV tanısında, daha sonraları biyokimyasal yöntemlerden olan ince tabaka ve kolom kromatografisi kullanılmıştır (Fuld-Allah ve ark., 1984). Nükleik asit elektroforez teknigideki gelişmeler sonucu CEV, iki boyutlu poliakrilamid jel elektroforez (PAGE) ortamında yaklaşık 8 saat yürütülerek ayırtılmak suretiyle karakterize edilmiştir (Baksh ve ark., 1983; Boccardo ve ark., 1984). PAGE teknigi için RNA izolasyon ve purifikasyon zorunluluğu, ayrıca CEV-RNA konsantrasyonunun en az 1-3ng seviyede olma gerekliliği; CEV belirlenecek bitki örneğinin Etrog citron üzerine aşılanarak 32°C'de en az 3 ay bekletilmesini zorunlu kılmaktadır. Bu gibi olumsuzluklar hastalık tanılamada, yeni arayışları birlikte getirmiştir.

1990'lı yıllarda PCR (Polymerase Chain Reaktion) ve RT-PCR (reverse transcription PCR) teknigideki gelişmeler sonucu, bitki dokusunda patojen konsantrasyonu 0,01ng seviyede olsa da patojene özgü iki spesifik primerin kullanılmasıyla patojen tanılaması yapılır hale gelmiştir (Robertson ve ark., 1991; Rybicki ve Hughes, 1990; Yang ve ark., 1992).

Hastalık survey çalışmalarında ve uluslararası tanı çalışmalarında en fazla kullanılan yöntemlerden biride nükleik asit hibridizasyonudur (Macquaire ve ark., 1994). CEV tanısında, bir çok araştırıcı tarafından uzun yıllar PAGE çalışmasına paralel olarak nükleik asit hibridizasyon uygulaması yapılmıştır (Flores, 1988; Albanese ve ark., 1988; Semancik 1988; Gillings ve ark., 1988). Bu araştırcılar hibridizasyon çalışmalarında probe işaretlemeye radyoaktif madde olan ³²P kullanmışlardır. Radyoaktif çalışmaların sağlık yönünden riskli olması ve özel laboratuvar ekipmanları gerektirmesi kullanımı sınırlamıştır. Bu nedenle bir çok laboratuarda uygulanamamaktadır. Daha sonraki yıllarda enzim esaslı probe işaretleme kitlerinin devreye girmesiyle hastalık teşhisinde dot-blot hibridizasyon uygulamaları yaygın kullanılmaya başlanmıştır.

Enzim esaslı Biotin-ULS (Biotin Universal Linkage System) probe işaretleme çalışmaları 1992 yılında ilk kez tip alanında hastalık tanılamada kullanılmaya başlanmıştır (Belkum ve ark., 1993). Sonraki yıllarda bitki hastalıklarının tanısında ve vektör taramalarında uygulanmıştır (Harper ve ark., 1993).

Yapılan bu çalışmada, turunçillerde virus ve virus benzeri hastalıklardan temiz aşigözü ve fidan üretiminin sağlayan Türkiye Turunçgil Çeşit Geliştirme Programında (sürekli), CEV'nin biyolojik testleme yanında daha hızlı ve güvenilir sonuç veren moleküler tekniklerden olan RT-PCR ve enzim (Biotin-ULS) işaretlemesi ile dot-blot hibridizasyonun tekniği uygulanmıştır.

2. Materyal ve Yöntem

2.1. Materyal

Bitkisel materyal olarak TTCGP'da virus ve virus benzeri hastalıklardan arındırmak için *in vitro* sürgün ucu aşılamanadan geçirilmiş 9 çeşit ve nüceller çalışmadan seçilen 5 çeşit kullanılmıştır. Negatif kontrol olarak, bulaştırma yapılmayan Etrog citron kullanılmıştır. Pozitif kontrol olarak, Kaliforniya'dan getirilen kuvvetli düzeyde hastalık oluşturan 805 ırkı, orta düzeyde hastalık oluşturan 811 ırkı, zayıf düzeyde hastalık oluşturan 819 ve 822 ırkı ve daha önceki indekslemelerde pozitif olarak bulunan ST-1 (Satsuma klonu) kullanılmıştır. Ayrıca otsu bitki olarak CEV'nin ST-1 ırkı ile mekanik inokulasyonla bulaştırılmış olan hiyar ve domates bitkileri kullanılmıştır (Çizelge 1).

Çizelge 1. Turunçgil Exocortis Viroid Tanılanmasında Kullanılan Bitkisel Materyaller.

<i>Turunçgil Çeşitleri</i>	
Hamlin-C	Satsuma I-2 (nuceller)
Yediveren Limon	Moro-2/7 (nuceller)
86-B	Hamlin I-8 (nuceller)
IE-3/A	Kontrol bitki
Honey/A	Pozitif Örnekler
38-B	ST-1, 805 (CEV'nin şiddetli ırkı)
Yerli Mandarin	819, 822 (CEV'nin zayıf ırkı)
Hamlin-B	811 (CEV'nin orta düzeyde simptom oluşturan ırkı)
WM-3/A	Otsu Bitkiler
90-C	Hiyar (<i>Cucumber sativus</i>)
Valencia XII-6 (nuceller)	Domates (<i>Lycopersium esculantum</i>)

2.2. Yöntem

2.2.1. Biyolojik (Gösterge Bitkileri Üzerinde) Testleme

In vitro sürgün ucu aşılama yapılarak testleme büyülüğüne gelen bitkilerden ve bahçede bulunan nüceller çeşitlerden ikişer

göz alınarak kaba limon çögürleri üzerine doku bulaştırması yapılmıştır. Aynı kaba limon çögürü üzerine CEV'ye duyarlı Etrog citron 861-S1'den alınan iki göz aşılanmıştır. Negatif kontrolde ise kaba limon çögürüne yalnızca Etrog citron'da iki göz aşılanmıştır. Pozitif kontrol de yine kaba limon çögürü anaç olarak kullanılmış ancak bulaştırma dokusu olarak ST-1, 805, 819, 822 ve 811 nolu bitkilerden alınan doku parçası aşılanmış ve yine aynı bitki üzerine Etrog citron aşılanmıştır. Kaba limon üzerine aşılan Etrog citron gözü sürdürükten sonra, bitkiler 8-12 hafta sıcak serada (30-32°C) inkube edilmiş ve simptomolojik gözlemler yapılmıştır.

Çalışmada kullanılan hiyar ve domates bitkileri 2-3 yapraklı dönemde, yapraklarına ST-1 bitkisinin öz suyu karborandum kullanılarak inokule edilmiş ve bitkilerin sıcak serada bakım işleri yapılmıştır.

2.2.2. Doku Ekstraksiyonu

Biyolojik testleme yapılan bitkilerin taze sürgünlerinden 0.5-1gr'luk yaprak örnekleri alınmıştır. Bitki dokusu sıvı azotta ezilerek Semancık (1991) göre RNA izolasyonu yapılmıştır. İzole edilen RNA'lar 100-200µl TKM bufferda (Tris 10mM, KCl 10mM, MgCl₂ 0.1mM) çözülmüş -20°C'de muhafaza edilmiştir.

2.2.3. RT-PCR Yöntemi

2.2.3.1. CEV'nin cDNA Sentezlenmesi ve Amplifikasiyonu

RNA yapısında olan CEV 'den öncelikle cDNA sentezinin yapılması gerekmektedir.cDNA sentezi Yang ve ark.,(1992) göre yapılmıştır. cDNA sentezi için total nükleik asitten 1µg alınarak üzerine 1-3µg 20-mer'lik spesifik primer (5'-CCCTGAAGGACTTCTTCCCC-3'; central conserved bölgedeki 71-90 CEV-A nükleotidlerinin complementar) eklenmiştir. 6µl cDNA buffer (250mM Tris-HCL pH 8.3, 375 mM KCl ve MgCl₂, 50mM DDT) konularak hacim steril destile su ile 30µl 'ye tamamlanmıştır. Elde edilen karışım 100°C'de 5 dakika kaynatılarak nükleik

asitlerin denatüre olması sağlanmıştır. 2 dakika buz üzerinde ve sonra 1 saat oda sıcaklığında bırakılarak primerin annealing (primerlerin nükleik asitlere bağlanması) sağlanmıştır. 18 μ l reaksiyon karışımı (4 μ l cDNA buffer, 5 μ l 0.3M 2-mercaptopoethanol, 2.5 μ l 10mM dNTP, 6.5 μ l steril dionize su ve 2 μ l Moloney murine leukemia virus reverse transkriptazesi) hazırlanarak 30 μ l'lik annealing yapılan karışma eklenerek 42°C'de 2.5 saat bekletilerek cDNA sentezi gerçekleştirılmıştır.

RT-PCR'da amplifikasyon işlemi için CEV'nin cDNA'dan 5 μ l alınmış üzerine MgCl₂ 40 mM, 2.5 μ l PCR buffer, 5mM dNTP, 1.25 μ L 20 mer'lik CEV-A primeri (downstream) ile 2.5 μ L 24 mer'lik CEV-B primer (upstream); (5'ATCCCCGGGGAAACCTGGAGGAA G-3'), 0.5 μ l Taq polymeraze enzimi eklenerek, hacim steril dionize su ile 25 μ l'ye tamamlanmıştır. RT-PCR için amplifikasyon programı 40 döngü olacak şekilde programlanmıştır. Her döngü; 94°C'de 1 dakika, 55°C'de 2 dakika ve 72°C'de 3 dakika şeklinde gerçekleştirılmıştır. Son döngüde örnekler 72 °C'de 7 dakika bekletilmiştir. RT-PCR'dan sonra örnekler 4°C'ye alınmıştır.

2.2.3.2 .RT-PCR Ürünlerinin Polyakrilamid Gel Elektroforezi

RT-PCR amplifikasyonu ile elde edilen DNA'lar %5'lik polyakrilamid dikey gel elektroforezede yürütülmüştür. Elektroforez bufferi olarak TBE (Tris 225mM, Borik asit 225mM, Sodium ETDA 5mM, pH 8.3, 10x) kullanılmış ve elektroforez işlemi 100V'da 4 saat elektrik akımı verilerek yapılmıştır. Jel ethidium bromid ile 10 dakika boyanmış ve UV ışığında bant gözlemlenmesi yapılmıştır.

2.2.4.Nükleik Asit Dot-Blot Hibridizasyonu

2.2.4.1. Örneklerin Membrana Dot-Blot Yapılması

Bitki dokusundan izole edilen nükleik asitten 3 μ l, steril saf sudan 4 μ l alınarak karıştırılmış ve 5 dakika kaynatılmıştır.

Denatüre olan örnekler hemen mikropipet yardımıyla membrana damlatılarak absorbe edilmesi sağlanmıştır.

2.2.4.2. ST-1 Örneğinin Probe Olarak Biotin-ULS ile İşaretlenmesi

Biyolojik testlemelerde ve RT-PCR çalışmasında pozitif bulunan ST-1 örneği probe olarak seçilmiştir. RT-PCR yapılmış ST-1 örneğinden 10 μ l alınmıştır. Üzerine 2 μ l BIO-ULS (1 mg/ml) kitindeki işaretleme solüsyonu eklenmiş ve örnek 85°C'de 30 dakika inkube edilerek probun biotin ile işaretlenmesi sağlanmıştır. Proba bağlanmayan kimyasallar maddeleri uzaklaştırmak için karışım ethanolle muamele edilerek nükleik asitler pellet halinde çöktürülmüştür. Kurutulan pellet üzerine 10 μ l steril H₂O eklenmiştir.

2.2.4.3. BIO-ULS ile İşaretlenen Probyn Membrana Dot Blot Yapılan Örneklerle Bağlanması

Nytran membrana dot blot yapılan örneklerin absorbe olmaları için membran kurutulmuştur. Membran UV ışığında 2 dakika bekletilmiştir. Hazırlanan hibridizasyon buffer (0,25M Na₂H₂PO₄ pH 7.2, SDS %7) membran üzerine dökülterek 65°C de 4 saat membran inkube edilmiştir. Biotin- ULS ile işaretlenen probe pipet yardımıyla 65°C'deki membran üzerine eklenmiş ve dağılması sağlanmıştır. Membran 65°Cde bir gece inkube edilmiştir. Daha sonra membran önce solüsyon A (250mM Na₂H₂PO₄ pH 7 ,SDS %0.5) ile sonra solüsyon B (125mM Na₂H₂PO₄ pH 7 ,SDS %0.5)'de 65°C'de 15 dakika bekletilerek yıkama işlemi gerçekleştirilmiştir. Bu işlem sonucunda, Bio-ULS ile işaretli probun membrandaki örneklerle hibridize olması sağlanmıştır.

2.2.4.4.Biotin Tanımlama Kiti ile Sonuçların Değerlendirilmesi

Prob ile hibridize olan örneklerin görülebilir hale getirilmesi Belkum ve ark.,(1993) göre yapılmıştır. Bu aşamada tüm işlemler oda sıcaklığında gerçekleştirilmiştir. Membran üzerine

Streptavidin eklenmiş ve 15 dakika inkubasyon sağlanmıştır. Membran iki kez PBS, %0.5 Tween-20 içeren solusyonu ile yıkanmıştır. Bu defa membran Alkaline fosfataze (Biotin detection system, streptavidin alkaline phosphatase assay, Kreatech BV, Amsterdam, the Netherlands) ile muamele edilerek 15 dakika inkube edilmiştir. Membran iki kez tekrar yıkama solusyonu ile yıkanmış ve Sodiumazide 0.2 mg/ml ve boyama buffiri (0.1 M Tris HCl pH 9.5, 0.1 M NaCl, 5 mM MgCl₂) içerisinde 2 dakika bekletilmiştir. Renk gelişimi için membran %70'lik dimethylformamide ile 0.1 M Tris HCl pH 9.5, 0.1 M NaCl, 5 mM MgCl₂, NBT (Nitro Blue Tetrazolium) (32mg/ml) kimyasalı bulunan solüsyonda hafifçe sallanmış ve sonra 10µl BCIP (5-Bromo-4-Chloro-Indolyi-Phosphate) eklenerek 30-45 dakika içerisinde membran gözlemlenmiştir. Probyn hibridize olduğu örnekler mavi renkte lekeler halinde görülmüştür.

3.Bulgular ve Tartışma

3.1. Biyolojik Testleme

CEV testi yapılan bitkiden bulaştırma için iki göz ve Etrog citron dan (duyarlı klondan) iki göz olmak üzere 4 göz kaba limon çögürü üzerine aşılanmış ve 30-32°C'de inkube edilen bitkilerin 2-3 hafta sonra aşırı bağları çözülmüştür. İnokulasyondan 6-7 hafta sonra simptomolojik gözlemler yapılmaya başlanmıştır. Etrog citronun gözlerinden gelişen ilk sürgünlerde hastalık simptomları gözlenmiştir. Bitkinin gelişmesi için 12 hafta beklenilmiş ve simptomlar değerlendirilmiştir. Biyolojik testleme sonuçları Çizelge 2'de verilmektedir. Hastalık simptomları, hastalığın şiddetine bağlı olarak yaprak kıvrılması, boğum aralarında kısalma şeklinde kendini göstermektedir (Şekil 1.).

Sürgün ucu aşılama sonucu elde edilen Hamlin/B bitkisi CEV ile bulaşık bulunmuştur. CEV'nin sürgün ucu aşılama ile arındırılması aşılama esnasında kesilen meristem dokusu ile ters orantılıdır. Eğer kesilen meristem büyük ise (0.16mm'den)

CEV'nin arındırma oranı düşmektedir. Ayrıca CEV mekanik taşındığından aşılama esnasında kesimde oldukça önemli olmaktadır. CEV ile bulaşık bulunan bu hat imha edilmiştir.

Çizelge 2. CEV'nin Biyolojik Testleme Sonuçları.

Testlenen Bitkiler	Testleme Sonuçları
Hamlin-C	-
Yediveren Limon	-
86-B	-
IE-3/A	-
Honey/A	-
38-B	-
Yerli Mandarin	-
Hamlin-B	+
WM-3/A	-
90-C	-
Valencia XII-6(nuc)	-
Satsuma I-2 (nuceller)	-
Moro-2/7 (nuceller)	-
Hamlin I-8 (nuceller)	-
Kontrol bitki	-
ST-1	+
805	+
819	+
822	+
811	+
Hiyar	-
Domates	+

Biyolojik testlemede pozitif kontrol olarak kullanılan ST-1 ve 805'de güçlü hastalık simptomları oluşurmaktır ve bazen bitkiyi öldürmektedir. Zayıf ırk olan 819 ve 822'da yaprak simptomları daha az gelişmiştir. 811 nolu CEV ırkı ise sürgünün ilk dönemlerinde yaprak simptomları göstermesine rağmen bitki ölümüne neden



Şekil 1. CEV'nin (ST-1 ırkı) Biyolojik Testlemedeki Yaprak Simptomları.

olmamaktadır. Otsu bitkilerden olan domatesde genç sürgünlerde yaprak kıvrımları hafif görülmüş olmasına karşı hiyar bitkilerinde hiç symptom gözlenmemiştir. Solanaceae familyasından olan domatesin CEV'nin konukçuları arasında bulunduğu Fonseca ve ark., (1993) tarafından da bildirilmiştir.

3.2.RT-PCR

Bu çalışmada, Turunçgil Exocortis viroidinin tanısı için moleküler tekniklerden olan RT-PCR kullanılmıştır. Spesifik primer olarak Yang ve ark.(1992), tarafından kullanılan CEV'nin central conserved bölgesindeki (nukleotid dizilimleri 71-90) ve onun yan kısmındaki 91-114 aralığındaki nukleotid diziliminin complementary kullanılarak CEV'ye özgü spesifik primerler (CEV-A ve CEV-B) sentezletilmiş ve RT-PCR 'da kullanılmıştır. Bu primer dizilimleri şerbetciotu bodur viroidinin primerleri ile oldukça benzerlik göstermeyeceğini Hadidi ve Yang (1990) tarafından bildirilmiştir.

Bu çalışmada tüm bitkisel örneklerden RNA izole edilerek RT-PCR yapılmıştır. RNA izolasyonu total nukleik asit izolasyonuna göre daha dikkatli çalışmayı gerektirmektedir. Yang ve ark.(1992), RT-PCR uygulamasını total nukleik asit kullanarak yapmışlardır. Total nukleik asit içerisinde çok az miktarda (0.01-0.001 ng) CEV olsa dahi tanılama işleminin yapılabileceği bildirilmiştir.

Çalışma, RT-PCR Yang ve ark.(1992)'ye göre yapılmıştır. PCR koşullarında optimizasyon yapma gerekliliği olusmamıştır.

RT-PCR ürünleri dikey %6'luk poliakrilamid jel elektroforezinde yürütülmüştür. Biyolojik testlemede pozitif reaksiyon veren CEV ırkları (ST-1, 805, 811, 819, 822) ile sürgün ucu aşılamanadan geçmiş Hamlin/B ve domates bitkisi RT-PCR sonucu 371bp büyüklüğünde tek bant oluşturmuştur. Negatif bitkide ve diğer turunçgil örnekleri ile hiyarda bant oluşmamıştır (Şekil 2.).

Hastalık oluşturma virulensliği farklı olan CEV ırklarında bant uzunluğu bakımından farklılık olusmamıştır. Önelge

(1997), RT-PCR'da CEV'nin Etrog citronda ve *Gynura aurantiaca* D.C.'da hastalık oluşturan CEV ırkının 371 bp bant oluşturduğunu ancak yapılan sequence analiz karşılaştırmasında nukleotid farklılığının bulunduğu ve bu farklılığında patojenite durumunu etkileyebileceğini belirtmiştir.

RT-PCR'da oluşan bant uzunluğunun (371 bp) CEV'nin tüm nukleotid uzunluğuna eşit olduğu Yang ve ark. (1992) tarafından belirlendiği gibi bu çalışmada da görülmüştür. Bu çalışmada, patojenin CEV olduğunu ve aynı nukleotid uzunlığında olduğunu göstermiştir.



Şekil 2. RT-PCR ürünlerinin %6'luk Poliakrilamid Jel Elektroforezde Ayırıtırlması Sonucu Oluşan cDNA Banti (Ethidium Bromid ile boyanarak).

3.3.Dot-Blot Hibridizasyon

Dot -blot hibridizasyon birçok virus hastalığın tanımlanmasında, virus-vektör ilişkisine yönelik çalışmalarında ve hastalık epidemiyoloji araştırmalarında yaygın olarak kullanılmaktadır (Harper ve Creamer, 1995; Flores, 1988)

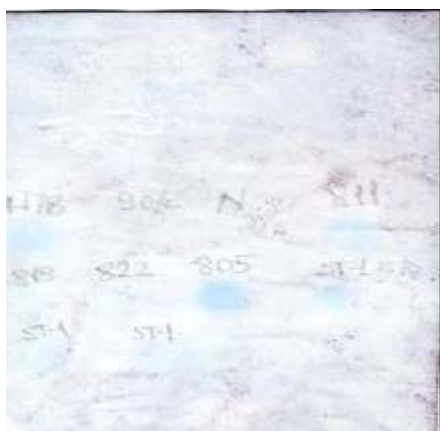
Nukleik asit hibridizasyonunda probe işaretlemeye radioaktif bir madde olan ³²P uzun yıllar kullanılmıştır. Ancak daha sonraları sağlığa zararsız ve daha az laboratuar alt yapısı gerektiren Biotin tanı kitleri geliştirilmiş ve reaksiyon renk değişimine göre takip edilmiştir (Eweida ve ark. 1989).

Bu çalışmada, Biotin-ULS kiti probe işaretlemesinde kullanılmıştır. Nytran membran üzerine her örnekten 25 μ l damlatılmıştır. ST-1 örneğinden ise 25, 15 ve 10 μ l olacak şekilde 3 damlatma yapılmıştır.

Probe olarak, ST-1 örneğinin

cDNA'sı kullanılmıştır. Probe işaretlemede inkubasyon 85°C'de 30 dakika olarak gerçekleştirılmıştır. Probe işaretleme sıcaklığının ve süresinin optimizasyonu Belkum ve ark. (1992) tarafından bildirildiği gibi yapılmıştır.

Dot-blot çalışmasında, Hamlin/B, 811, 819, 822, 805, ST-1 (üç farklı miktarında) de mavi renkli reaksiyonlar oluşmuştur. Negatif örnekte ve diğer örneklerde renk değişimi oluşmamıştır (Şekil 3).



Şekil 3. Biotin-ULS ile Probe İşaretlemesi
Yapılan CEV Dot-Blot
Hibridizasyon Sonucu.

Domates örneğinde ise probe bağlanması gerçekleşmemiştir. Domates örneğindeki doku farklılarından gelen bir takım maddelerin probe bağlanması engelleyici rol oynayabileceğini düşündürmüştür. Belkum ve ark. (1992) farklı insan dokularında yaptıkları Biotin-ULS do blot çalışmasında doku farklılığından kaynaklanan probe-örnek hibridizasyonunda sorunların olabileceğiğini bildirmiştirlerdir.

ST-1 örneğinin 25 μ l'si diğer iki miktarla göre daha net mavilik oluşturmuştur. Renk tonları arasındaki farklılık probe ile hibridize olan CEV miktarına bağlı olabileceği düşünülmektedir. Elde edilen bu sonuçlar biyolojik testleme ve RT-PCR ile (domates örneği dışında) uyumlu olmasına karşılık CEV'ye özel problemlerin oluşturulması CEV'ye özelleşmeyi artıracaktan geniş alanlarda survey çalışmalarında kolaylık ve güvenilirlik sağlayacaktır.

4.Sonuç

Mekanik ve aşı gözü ile taşınabilen turunçgil exocortis viroidi, turunçgillerde ağaç ömrünü kısaltmakta, verim kaybına ve meyve kalitesine olumsuz etkide bulunmaktadır. Hastalığın hızlı ve güvenilir olarak kısa sürede tanılanması hastalık kontrolünde, bölgedeki durumunun takibinde oldukça önemlidir.

Hastalığın biyolojik testlemesi Türkiye Turunçgil Çeşit Geliştirme Programında yürütülmektedir. Ancak bu çalışma ile RT-PCR ve Biotin-ULS dot-blot hibridizasyonuyla da yapılabileceği ortaya konulmuştur. Hibridizasyon çalışmalarında eğer spesifik problemler oluşturulur ise hastalık survey çalışmalarında güvenilir ve kısa sürede sonuç alınabileceği için RT-PCR teknigine göre daha yaygın kullanılabilecektir. RT-PCR çalışmalarının ilk alt yapı oluşturulması pahalı olmakla birlikte, erken tanıda zaman kazandıracağı ve alan konusunda avantaj sağlayacağı için ekonomik olabileceği göz önünde bulundurulabilir. Ayrıca çalışma kitlerinde örnek sayısının fazla olması rutin uygulamalarda daha fazla avantaj sağlayacaktır.

Turunçgil exocortis viroidinde kullanılan RT-PCR ve Biotin-ULS dot blot hibridizasyonunun diğer turunçgil viroidlerinde de kullanılabilmesi Turunçgillerde virus ve virus benzeri hastalıklardan temiz aşı gözü üretim amaçlı Çeşit geliştirme programlarının başarısını daha da artıracaktır.

Kaynaklar

- Albanese, G., Rosa, R., Davino, M., Hammond, W.R., Smith, D.R., Diener, T.O., 1988. A Viroid Different From Citrus Exocortis Viroid Found in Commercial Citrus in Sicily. 10th Conf. IOCV. Riverside, 165-172.
- Baksh, N., Lee, R.F. ve Garnsey, S.M., 1982. Detection of citrus exocortis viroid from citron by polyacrylamide gel elektrophoresis. Phytopathology 72 : 354. (Abstr.).
- Belkum, A., Linkels, E., Jelsma, T., Houthoff, H.J., Berg, F. and Quint, W., 1993. Application of a new, universal DNA labeling system in the PCR mediated diagnoses of *Chlamydia trachomatis* and human papillomavirus type 16 infection in cervical smears. Journal of

- Virological Methods. 45 : 189-200.
- Boccardo, G., Rosa, R., and Catara, A. 1984. Detection of citrus exocortis viroid by polyacrylamide gel electrophoresis of nucleic acid extracts from glasshouse citrus. 9th Conf. IOCV. Riverside, 357-361.
- Çınar, A., Kersting, U., Önelge, N., Korkmaz, S. ve Sas, G., 1993. Citrus virus and virus-like diseases in the Eastern Mediterranean Region of Turkiye. Proceeding 12th IOCV conference, Riverside 1993, USA, 397-400.
- Eweida, M., Sit, T.L., Sira, S. and Abou Haidar, M.G., 1989. Highly sensitive and specific non-radioactive biotinylated probes for dot-blot, Southern and colony hybridizations. Journal of Virological Methods, 26 : 35-44.
- Flores, R. 1988. Detection of citrus exocortis viroid in natural and experimental citrus hosts by biochemical methods. Tenth IOCV Conference. 192-196.
- Fonseca, M.E.N., 1993. French marigold (*Tagetes patula*) : A new experimental host of citrus exocortis viroid. Brazil. Plant Dis. 77 : 953.
- Fudl-Allah, A.E., Sims, J.J. and Calavan, E.C., 1974. Indexing of exocortis virus-infected citron by using thin-layer chromatography. Plant Dis. Rep. 58 : 82-85.
- Garnsey, S. M. and Jones, J. W., 1967. Mechanical transmission of exocortis virus with contaminated budding tools. Plant Dis. Rep. 51: 410-413.
- Gillings, M.R., Broadbent, P. and Gollnow, B.I., 1988. Biochemical Indexing for Citrus Exocortis Viroid. 10th Conf. IOCV. Riverside, 178-186.
- Hadidi, A. and Yang, X., 1990. Detection of pome fruit viroids by enzymatic cDNA amplification. J. Virol. Meth. 30: 261-270.
- Harper, K. and Creamer, R., 1995. Hybridization detection of insect-transmitted plant viruses with digoxigenin-labeled probes. The American Phytopathological Society. 563-567.
- Macquaire, G. Candresse, T. and Dunez, J., 1994. Detection of plant viruses and viroids by molecular hybridization. Handbook for detection and Diagnosis. FAO, Rome, 217-231.
- Moreira, S. 1965. Report to government of Turkey on virus diseases of citrus. FAO Report No: 1982, 19 pp Rome.
- Norman, P. A., 1963. Report to government of Turkey on virus diseases of citrus. FAO Report No: 1641, 16 pp, Rome.
- Önelge, N., 1997. Direct nucleotide sequencing of citrus exocortis viroid (CEV). Turk. J. Agric. For., 21: 419-422.
- Özaslan M. and Çınar, A., 1990. The Detection Of Citrus Exocortis VIroid By Polyacrylamide Gel Elecktrophoresis. J.Türk. Phytopath. Vol.19. No. 2, 41-52
- Rivera-Bustamente, R., Gin, R. and Semancik, J.S., 1986. Enchanged resolution of circular and linear molecular forms of viroid and viroid-like RNA by elektrophoresis in a discontinuous pH system. Anal. Bioch. 156, 91-95.
- Robertson, N.L., French, R., and Gray, S.M. 1991. Use of group specific primers and polymerase chain reaction for the detection and identification of luteoviruses. J. Gen. Virol. 72: 1473-1477.
- Roistacher, C.N., Navarro, L. and Murashige, T., 1978. Recovery of citrus selections free of several viruses, exocortis viroid and *Sitoplasma citri* by shoot-tip grafting in vitro Conf. 7th. Int. Org. Citrus Virol. 186-189.
- Rybicki, E., and Hughes, F.L., 1990. Detection and typing of maize streak virus and other distantly related geminiviruses of grasses by polymerase chain reaction amplification of a conserved viral sequence. J. Gen. Virol. 71:2519-2526
- Semancik, J.S. and Weathers L.G., 1972. Exocortis disease: Evidence for a new species of infectious low molecular weight RNA in plants. Nature New biology 237 : 242-244.
- Semancik, J.S., 1987. Citrus exocortis viroid. Nature and Structure. A Seminar Held in I.C.A. M.A.S. BARI / ITALY seminar notes photocopied in BARI from J.S. Semancik, pp. 25.
- Semancik, J.S., C.N.Roistacher, N.Duran-Villa.1988. A New Viroid is The Causal Agent of Citrus Cachexia Disease. In Proc. 10th Conf. IOCV. Riverside, 125-136.
- Semancik, J.S., 1991. Viroid Purification and Characterization. In Roistacher, C.N., ed. Graft-Transmissible Diseases of Citrus. Handbook for detection and Diagnosis. FAO. Rome, 233-349.
- Wallace, J. M., 1978. Virus and viruslike diseases, p. 67-184. In W. Reuther et al. (eds.) the Citrus Industry, Vol.IV, Univ. Calif., Div. Agric. Sci., Berkeley.
- Wutscher, H. K. and Shull, A. V., 1975. Machine-hedging of citrus trees and transmission of exocortis and xyloporosis viruses. Plant Dis. Rep. 59 : 368-369.
- Yang, X., Hadidi, A. and Garnsey, S.M., 1992. Enzymatic cDNA Amplification of Citrus Exocortis ve Cachexia Viroids From Infected Citrus Hosts. Phytopathiology 82: 279-285.